

# Lektion 11: Design af FIR-filtre

## Signalbehandling

**Christoffer Sloth**

chs1@mmmi.sdu.dk

SDU Robotics  
The Maersk Mc-Kinney Moller Institute  
University of Southern Denmark



Introduktion

Vinduesfunktioner

Introduktion

Rektangulær vinduet

Bartlett vinduet

Hamming og Hanning vinduet

Kaiser vinduet

Design af FIR-filtre

Opsummering



Datakonvertering og digital signalbehandling herunder:<sup>1</sup>

- ▶ ideel og praktisk sampling og rekonstruktion
- ▶ aliasing
- ▶ kvantisering og dynamikområde
- ▶ konverteringsprincipper (A/D og D/A)
- ▶ implementationsprincipper (Sample & Hold, A/D, D/A)
- ▶ multirate sampling
- ▶ diskret-tid signaler og systemer i tids- og frekvensdomænet
- ▶ Z-transformationen
- ▶ overføringsfunktion for lineære tidsinvariante systemer
- ▶ systemanalyse
- ▶ frekvensanalyse
- ▶ lineær fase systemer
- ▶ realisationsstrukturer for diskret-tid systemer
- ▶ hovedanvendelse af digital signalbehandling herunder digitale IIR-filtre og transformation af analoge filtre samt **digitale FIR-filtre og vindues-funktioner**

<sup>1</sup> Baseret på <https://odin.sdu.dk/sitecore/index.php?a=fagbesk&id=65003&listid=9093&lang=da>



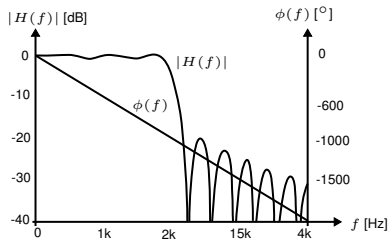
- ▶ **Lektion 1:** Filterfunktioner
- ▶ **Lektion 2:** Sampling og rekonstruktion
- ▶ **Lektion 3:** Fast Fourier transformation (I)
- ▶ **Lektion 4:** Fast Fourier transformation (II)
- ▶ **Lektion 5:** Introduktion til  $z$ -transformation
- ▶ **Lektion 6:** Systemanalyse i  $z$ -domæne
- ▶ **Lektion 7:** Digitale realisationsstrukturer
- ▶ **Lektion 8:** Introduktion til IIR-filtre
- ▶ **Lektion 9:** Design af IIR-filtre
- ▶ **Lektion 10:** Introduktion til FIR-filtre
- ▶ **Lektion 11:** Design af FIR-filtre
- ▶ **Lektion 12:** Anvendelse af digital signalbehandling

# Introduktion

## Pasbånds- og stopbåndsripple



I sidste lektion blev det konkluderet at pasbånds- og stopbåndsripple ved FIR-filtre er for stor.

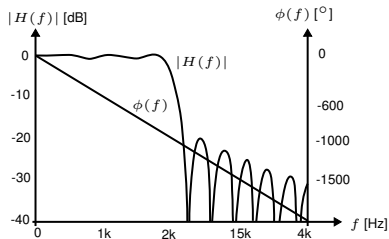


# Introduktion

## Pasbånds- og stopbåndsripple



I sidste lektion blev det konkluderet at pasbånds- og stopbåndsrippelen ved FIR-filtre er for stor.



For at mindske rippleen, så introduceres *vinduesfunktioner*.



Introduktion

**Vinduesfunktioner**

Introduktion

Rektangulær vinduet

Bartlett vinduet

Hamming og Hanning vinduet

Kaiser vinduet

Design af FIR-filtre

Opsummering



Introduktion

Vinduesfunktioner

Introduktion

Rektangulær vinduet

Bartlett vinduet

Hamming og Hanning vinduet

Kaiser vinduet

Design af FIR-filtre

Opsummering





*Fourierkoefficientmetoden* benyttes til at finde FIR-filtres koefficienter ved Fouriertransformation af frekvensresponsfunktionen  $|H(f)|$ , dvs.

$$|H(f)| = \sum_{m=-\infty}^{\infty} c_m e^{j2\pi m T f}$$

og Fourierkoefficienterne kan udtrykkes

$$c_m = \frac{1}{f_s} \int_{-f_s/2}^{f_s/2} |H(f)| e^{-j2\pi m T f} df$$



*Fourierkoefficientmetoden* benyttes til at finde FIR-filtres koefficienter ved Fouriertransformation af frekvensresponsfunktionen  $|H(f)|$ , dvs.

$$|H(f)| = \sum_{m=-\infty}^{\infty} c_m e^{j2\pi m T f}$$

og Fourierkoefficienterne kan udtrykkes

$$c_m = \frac{1}{f_s} \int_{-f_s/2}^{f_s/2} |H(f)| e^{-j2\pi m T f} df$$

For at opnå et endeligt impulsrespons, så afskæres Fourierrækken for  $|H(f)|$  så den har  $2M + 1$  led, dvs.

$$|H(f)| = \sum_{m=-M}^M c_m e^{j2\pi m T f}$$



Hvis det tidligere impulsrespons ikke var blevet trunkeret, så ville det være uendeligt - dette kaldes  $h_{\infty}(n)$ . For at opnå FIR-filtrets impulsrespons kunne  $h_{\infty}(n)$  ganges med den rektangulære vinduesfunktion, dvs.

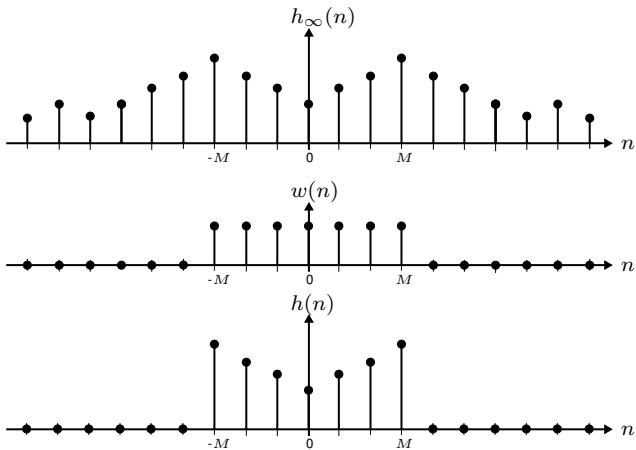
$$h(n) = h_{\infty}(n)w(n)$$

hvor

$$w(n) = \begin{cases} 1 & \text{hvis } -M \leq n \leq M \\ 0 & \text{ellers} \end{cases}$$

# Vinduesfunktioner

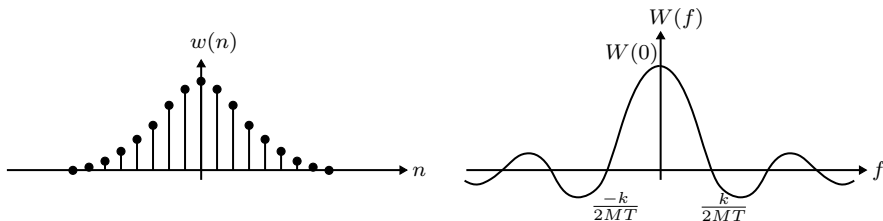
## Vinduesfunktion (II)





Frekvensresponset for impulsresponssekvensen  $h(n)$  fås ved foldning

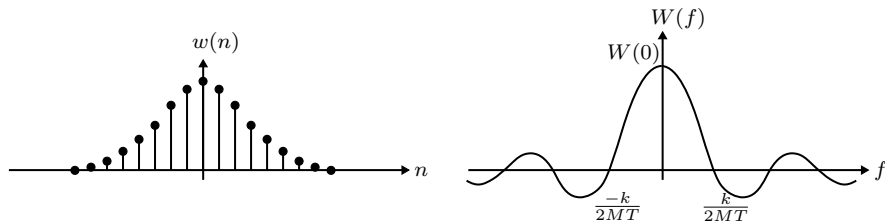
$$\begin{aligned} H(f) &= H_{\infty}(f) * W(f) \\ &= \int_{-\infty}^{\infty} H_{\infty}(f) W(f - F) dF \end{aligned}$$





Frekvensresponsen for impulsresponssekvensen  $h(n)$  fås ved foldning

$$\begin{aligned} H(f) &= H_{\infty}(f) * W(f) \\ &= \int_{-\infty}^{\infty} H_{\infty}(f) W(f - F) dF \end{aligned}$$



Spektret mellem nulgenemgange omkring 0 Hz kaldes *main lobe*. Resterende spektrum er *side lobes*.



Husk procedure for foldning

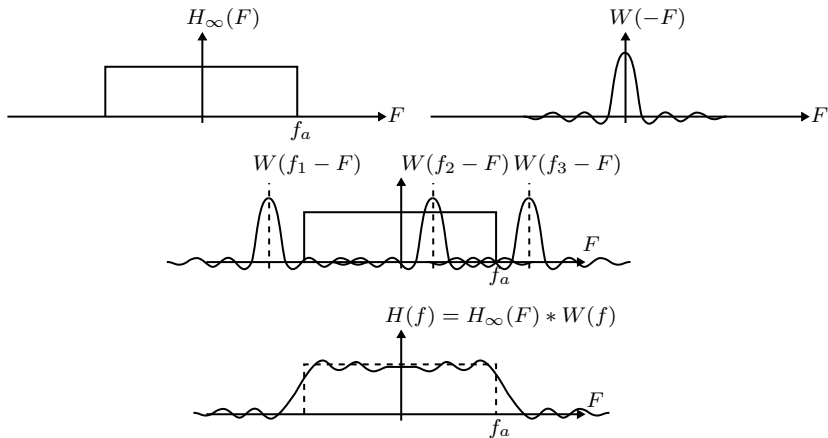
$$H(f) = H_{\infty}(f) * W(f)$$

Denne følger proceduren

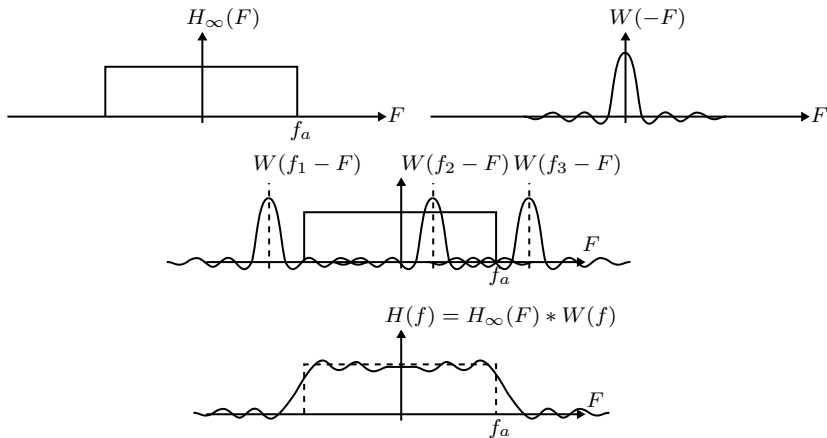
1.  $W(-F)$  findes ved spejling af  $W(f)$  omkring  $y$ -aksen
2.  $W(-F)$  forskydes fra venstre mod højre langs frekvens-aksen.
3. Produktet  $H_{\infty}(F)W(f - F)$  udregnes
4.  $H(f)$  er lig arealet under kurven for  $H_{\infty}(F)W(f - F)$

# Vinduesfunktioner

Frekvensrespons (III)







Oscillationerne i  $H(f)$  kaldes *Gibbs oscillationer* og refereres til som *Gibbs fænomen*.



En vinduesfunktion ønskes at have følgende karakteristika

- ▶ Bredden af main lobe skal være lille. Dette giver en hurtig overgang mellem pasbånd og stopbånd.
- ▶ Maksimalamplituden af side lobes skal være lille. Dette giver lille pasbånds- og stopbåndsripple.

# Vinduesfunktioner

Udregning af filterkoefficienter



Når en vinduesfunktion tilføjes, så svarer dette til en ændring i FIR-filtrets koefficienter.



Når en vinduesfunktion tilføjes, så svarer dette til en ændring i FIR-filtrets koefficienter.

FIR-filtrets nye Fourierkoefficienter  $c'_m$  bliver for  $-M \leq m \leq M$

$$c'_m = c_m w_m$$

hvor  $w_m$  er den  $m$ te koefficient for vinduesfunktionen og  $c_m$  er den  $m$ te Fourierkoefficient for det ideelle filter.



Når en vinduesfunktion tilføjes, så svarer dette til en ændring i FIR-filtrets koefficienter.

FIR-filtrets nye Fourierkoefficienter  $c'_m$  bliver for  $-M \leq m \leq M$

$$c'_m = c_m w_m$$

hvor  $w_m$  er den  $m$ te koefficient for vinduesfunktionen og  $c_m$  er den  $m$ te Fourierkoefficient for det ideelle filter.

Nu kan filterkoefficienterne udregnes som

$$a_i = c'_{M-i}$$



Introduktion

Vinduesfunktioner

Introduktion

Rektangulær vinduet

Bartlett vinduet

Hamming og Hanning vinduet

Kaiser vinduet

Design af FIR-filtre

Opsummering

# Rektangulær vinduet

Definition



Et rektangulært vindue er defineret som

$$w(n) = \begin{cases} 1 & \text{hvis } -M \leq n \leq M \\ 0 & \text{ellers} \end{cases}$$

# Rektangulær vinduet

Definition

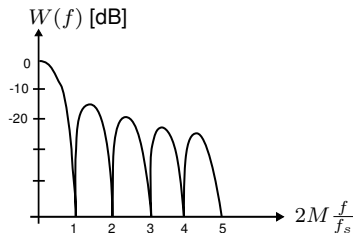
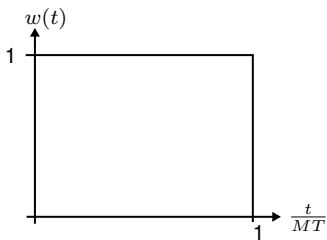


Et rektangulært vindue er defineret som

$$w(n) = \begin{cases} 1 & \text{hvis } -M \leq n \leq M \\ 0 & \text{ellers} \end{cases}$$

Spektrumfunktionen for det rektangulære filter er

$$W(f) = \frac{\sin(2\pi f M t)}{\pi f}$$







Introduktion

Vinduesfunktioner

Introduktion

Rektangulær vinduet

**Bartlett vinduet**

Hamming og Hanning vinduet

Kaiser vinduet

Design af FIR-filtre

Opsummering

# Bartlett vinduet

Definition



Et Bartlett vindue (triangulært vindue) er defineret som

$$w(n) = \begin{cases} 1 - \frac{|n|}{M} & \text{hvis } -M \leq n \leq M \\ 0 & \text{ellers} \end{cases}$$

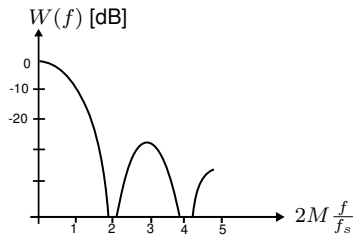
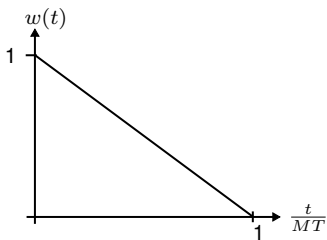
# Bartlett vinduet

Definition



Et Bartlett vindue (triangulært vindue) er defineret som

$$w(n) = \begin{cases} 1 - \frac{|n|}{M} & \text{hvis } -M \leq n \leq M \\ 0 & \text{ellers} \end{cases}$$





Introduktion

Vinduesfunktioner

Introduktion

Rektangulær vinduet

Bartlett vinduet

Hamming og Hanning vinduet

Kaiser vinduet

Design af FIR-filtre

Opsummering

# Hamming og Hanning vinduet

Definition



Hamming og Hanning vinduer er defineret som

$$w(n) = \begin{cases} \alpha + (1 - \alpha) \cos\left(\frac{m\pi}{M}\right) & \text{hvis } -M \leq n \leq M \\ 0 & \text{ellers} \end{cases}$$

hvor  $\alpha = 0,5$  for Hanning vinduet og  $\alpha = 0,54$  for Hamming vinduet.

# Hamming og Hanning vinduet

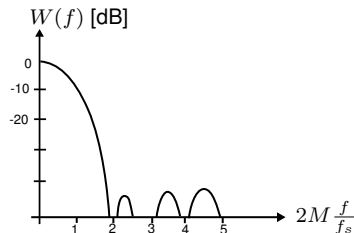
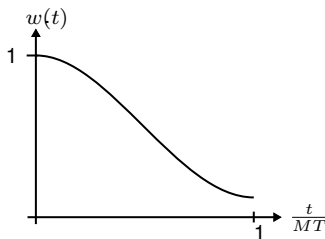
Definition



Hamming og Hanning vinduer er defineret som

$$w(n) = \begin{cases} \alpha + (1 - \alpha) \cos\left(\frac{m\pi}{M}\right) & \text{hvis } -M \leq n \leq M \\ 0 & \text{ellers} \end{cases}$$

hvor  $\alpha = 0,5$  for Hanning vinduet og  $\alpha = 0,54$  for Hamming vinduet.



**Hamming**

# Hamming og Hanning vinduet

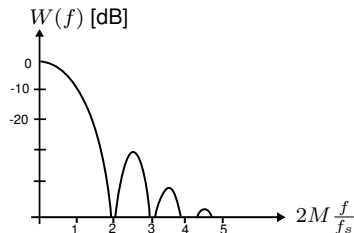
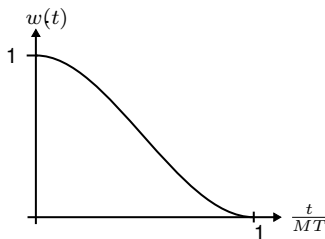
Definition



Hamming og Hanning vinduer er defineret som

$$w(n) = \begin{cases} \alpha + (1 - \alpha) \cos\left(\frac{m\pi}{M}\right) & \text{hvis } -M \leq n \leq M \\ 0 & \text{ellers} \end{cases}$$

hvor  $\alpha = 0,5$  for Hanning vinduet og  $\alpha = 0,54$  for Hamming vinduet.



**Hanning**



Introduktion

Vinduesfunktioner

Introduktion

Rektangulær vinduet

Bartlett vinduet

Hamming og Hanning vinduet

Kaiser vinduet

Design af FIR-filtre

Opsummering



# Kaiser vinduet

## Definition



Kaiser vinduet introduceres, da de øvrige vinduer kun har  $M$  som parameter, hvilket gør det umuligt at justere main lobe og side lobes uafhængigt af hinanden.

# Kaiser vinduet

## Definition



Kaiser vinduet introduceres, da de øvrige vinduer kun har  $M$  som parameter, hvilket gør det umuligt at justere main lobe og side lobes uafhængigt af hinanden.

Kaiser vinduer er defineret som

$$w(n) = \begin{cases} \frac{I_0\left(\beta\sqrt{1-\left(\frac{n}{M}\right)^2}\right)}{I_0(\beta)} & \text{hvis } -M \leq n \leq M \\ 0 & \text{ellers} \end{cases}$$

hvor  $I_0(x)$  er en nulte ordens Besselfunktion,  $\beta$  er en parameter der justerer primært side lobe amplituden (normalt er  $\beta$  mellem 1 og 10).

# Kaiser vinduet

Definition



Kaiser vinduet introduceres, da de øvrige vinduer kun har  $M$  som parameter, hvilket gør det umuligt at justere main lobe og side lobes uafhængigt af hinanden.

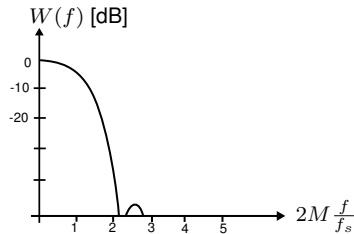
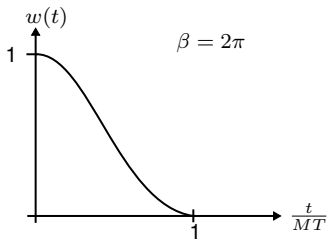
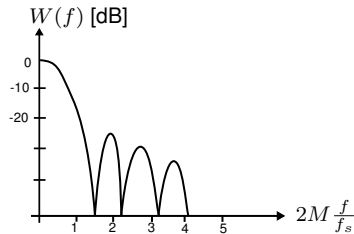
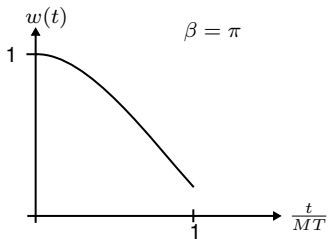
Kaiser vinduer er defineret som

$$w(n) = \begin{cases} \frac{I_0\left(\beta\sqrt{1-\left(\frac{n}{M}\right)^2}\right)}{I_0(\beta)} & \text{hvis } -M \leq n \leq M \\ 0 & \text{ellers} \end{cases}$$

hvor  $I_0(x)$  er en nulte ordens Besselfunktion,  $\beta$  er en parameter der justerer primært side lobe amplituden (normalt er  $\beta$  mellem 1 og 10).

Besselfunktionen er defineret som

$$I_0(x) = 1 + \sum_{k=1}^{\infty} \left( \frac{1}{k!} \left( \frac{x}{2} \right)^k \right)^2$$





Introduktion

Vinduesfunktioner

Introduktion

Rektangulær vinduet

Bartlett vinduet

Hamming og Hanning vinduet

Kaiser vinduet

**Design af FIR-filtre**

Opsummering

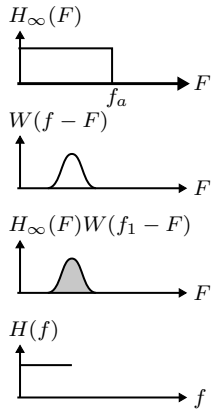


Når en FIR filter designes skal følgende specificeres

1. Afskæringsfrekvensen  $f_a$
2. Maksimal tilladelig bredde af overgangsområde  $\Delta f_a$
3. Maksimal tilladelig stopbåndsforstærkning  $H_s$
4. Maksimal tilladelig pasbåndsripple  $H_r$

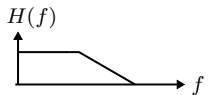
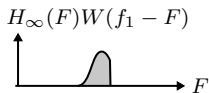
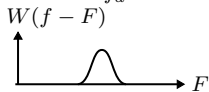
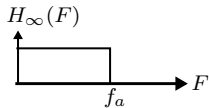
# Design af FIR-filtre

Bestemmelse af ordenstal (I)



# Design af FIR-filtre

Bestemmelse af ordenstal (I)







Det ses af sidste slide at overgangsområde  $\Delta f_a \approx B$ , hvor  $B$  er main lobe bredden.



Det ses af sidste slide at overgangsområde  $\Delta f_a \approx B$ , hvor  $B$  er main lobe bredden.  
Den frekvensnormerede main lobe bredde er

$$B_n = 2M \frac{B}{f_s} = 2M \frac{\Delta f}{f_s}$$



Det ses af sidste slide at overgangsområde  $\Delta f_a \approx B$ , hvor  $B$  er main lobe bredden.  
Den frekvensnormerede main lobe bredde er

$$B_n = 2M \frac{B}{f_s} = 2M \frac{\Delta f}{f_s}$$

Dermed bliver  $M$ -værdien

$$M = \frac{B_n f_s}{2\Delta f}$$



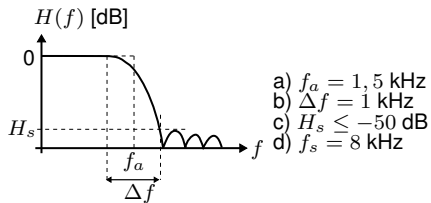
Konstruktionen af et FIR-filter kan forløbe efter følgende procedure

1. **Vælg vinduesfunktion.** Dette valg foretages på baggrund af specificerede stopbånds- og pasbåndsripple.
2. **Bestem ordenstal.** Ordenstallet  $2M$  bestemmes ud fra overgangsområde  $\Delta f_a$
3. **Beregn filterkoefficienter.** Filterkoefficienterne udregnes som

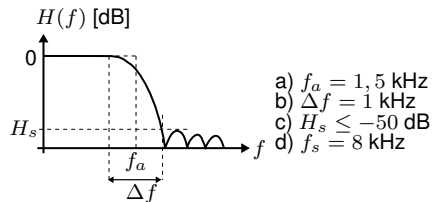
$$a_i = c_{M-i} w_{M-i}$$

4. **Verifikation.** Filtrets amplitudekarakteristik kontrolleres og om nødvendigt redesignes filtret ( $M$ -værdi korrigeres).

Følgende viser filterspecifikationen.



Følgende viser filterspecifikationen.



Grundet den store stopbåndsdæmpning skal vinduesfunktionen enten være Hamming eller Kaiser. Vi vælger Hamming.

# Design af FIR-filtre

Design af lavpasfilter (II)



Ordenstallet bestemmes ud fra

$$M = \frac{B_n f_s}{2\Delta f}$$

hvor  $B_n = 4$  for et Hamming filter.



Ordenstallet bestemmes ud fra

$$M = \frac{B_n f_s}{2\Delta f}$$

hvor  $B_n = 4$  for et Hamming filter.

Dermed fås

$$M \geq \frac{4 \cdot 8000}{2 \cdot 1000} = 16$$





Ordenstallet bestemmes ud fra

$$M = \frac{B_n f_s}{2\Delta f}$$

hvor  $B_n = 4$  for et Hamming filter.

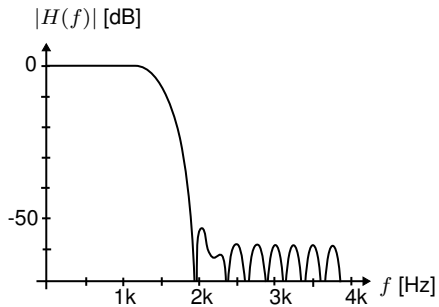
Dermed fås

$$M \geq \frac{4 \cdot 8000}{2 \cdot 1000} = 16$$

Ordenstallet bliver dermed  $2M = 32$ .

# Design af FIR-filtre

Design af lavpasfilter (III)





Introduktion

Vinduesfunktioner

Introduktion

Rektangulær vinduet

Bartlett vinduet

Hamming og Hanning vinduet

Kaiser vinduet

Design af FIR-filtre

Opsummering



Vi betragter følgende vinduesfunktioner

- ▶ Rektangulær
- ▶ Bartlett
- ▶ Hamming
- ▶ Hanning
- ▶ Kaiser

Ved introduktion af vinduesfunktioner kan Fourierkoefficienter for det modificerede filter udregnes som

$$c'_m = c_m w_m$$

hvor  $w_m$  er den  $m$ te koefficient for vinduesfunktionen og  $c_m$  er den  $m$ te Fourierkoefficient for det ideelle filter. Dermed bliver filterkoefficienterne

$$a_i = c'_{M-i}$$



Konstruktionen af et FIR-filter kan forløbe efter følgende procedure

1. **Vælg vinduesfunktion.** Dette valg foretages på baggrund af specificerede stopbånds- og pasbåndsripple.
2. **Bestem ordenstal.** Ordenstallet  $2M$  bestemmes ud fra overgangsområde  $\Delta f_a$
3. **Beregn filterkoefficienter.** Filterkoefficienterne udregnes som

$$a_i = c_{M-i} w_{M-i}$$

4. **Verifikation.** Filtrets amplitudekarakteristik kontrolleres og om nødvendigt redesignes filtret ( $M$ -værdi korrigeres).